

Notes anthropologiques sur les restes humains de Kadruka

Les restes humains provenant de Kadruka mis à notre disposition par la Section Française de la Direction des Antiquités du Soudan proviennent de 16 tombes datant d'époques néolithique et Kerma.

Le matériel anthropologique des tombes Kerma est en excellent état de conservation. Le climat très sec du désert et la grande profondeur des sépultures ont contribué à la préservation des vestiges osseux. Pour les restes humains néolithiques, l'état des os est assez mauvais; ceci est probablement dû au développement des crues holocènes sur le site.

1. Détermination du sexe et de l'âge au décès

Nous avons dénombré 18 individus; trois squelettes néolithiques, dix Kerma et cinq sujets de datation incertaine. La détermination du sexe a été effectuée par la méthode d'Ascadi et Nemeskéri (1970), associée aux techniques métriques sur l'os coxal (Gaillard 1960, Moeschler 1966). L'âge au décès des non-adultes a été déterminé par l'observation de l'état d'éruption dentaire (Olivier 1960) et, pour l'âge des adolescents, on a considéré le degré de synostose des épiphyses des os longs (Brothwell 1981 et McKern & Stewart 1957).

| Chronologie | Hommes | Femmes | Indéterminés | |
|-------------|--------|--------|--------------|-------------|
| | | | Adultes | Non-adultes |
| Néolithique | 1 | 0 | 2 | 0 |
| Kerma | 4 | 5 | 1 | 0 |
| Incertaine | 1 | 1 | 1 | 2 |
| Total | 6 | 6 | 4 | 2 |

Nous ne pouvons pas faire de commentaire sur les sujets néolithiques vu leur faible nombre.

Les squelettes du Kerma, plus nombreux, montrent un nombre d'hommes et de femmes assez semblable. Ce dénombrement provisoire sera remis en cause par la poursuite des fouilles.

| Datation | Classes d'âge | | | | |
|-------------|---------------|-----|-------|-------|--------|
| | 1-4 | 5-9 | 10-14 | 15-19 | adulte |
| Néolithique | 0 | 0 | 0 | 0 | 3 |
| Kerma | 0 | 0 | 0 | 2 | 8 |
| Incertaine | 0 | 2 | 0 | 0 | 3 |
| Total | 0 | 2 | 0 | 2 | 14 |

Les enfants sont présents seulement dans les tombes de datation incertaine, alors que nous avons observé deux adolescents dans les tombes Kerma. L'âge au décès des adultes (Acsadi & Nemeskéri 1970, Maset 1982) n'a pu être effectué que sur un nombre limité de sujets. C'est la raison pour laquelle nous n'en tirerons aucune conclusion.

2. Morphologie

Nous présentons ici uniquement quelques observations faites sur les restes humains du Kerma, car les squelettes néolithiques ne permettent pas encore une étude morphologique.

Sur l'ensemble de 9 adultes, ou sub-adultes, 7 seulement sont suffisamment complets pour permettre une étude morphologique.

Les individus sont de grande taille, avec une ossature robuste et des attaches musculaires fortes. Le crâne, de forte dimension, est moyennement allongé (mésocrâne), la face est moyenne et le nez large. On remarque un prognathisme alvéolaire chez presque tous les sujets, marqué chez certains (T9, T19).

Sur quelques sujets nous avons retrouvé des cheveux. Ceux-ci sont de couleur brun foncé à noir, bouclés. Le sujet masculin de la tombe 3 possède une chevelure faite de petites tresses.

La variabilité de la morphologie de ces quelques individus complets est peu importante; ce petit groupe montre une certaine homogénéité. La majorité des sujets possèdent des dimensions et des indices assez semblables.

Il était inutile de faire une analyse statistique sur ces quelques sujets, nous avons donc tenté une simple comparaison en regardant si ce groupe de Kadruka est semblable ou différent de celui de la population du Kerma Ancien de Kerma.

Nous avons représenté sur un graphique simple (fig. 1), pour quelques mensurations, les marges de variation de la population du Kerma (minimum et maximum) ainsi que les dimensions des sujets de Kadruka.

On remarque que ces derniers s'intègrent assez bien dans la variabilité du Kerma. Cependant les dimensions assez fortes de ces individus les situent dans la partie supérieure du graphe. Il ne semble donc pas, à première vue, apparaître de différences importantes entre les deux populations du Kerma. Toutefois, il faut être conscient que le faible échantillon à notre disposition nous rend très prudent et nous nous garderons de conclure avant l'étude d'une population plus importante.

Christian SIMON¹

¹Département d'Anthropologie, Université de Genève.

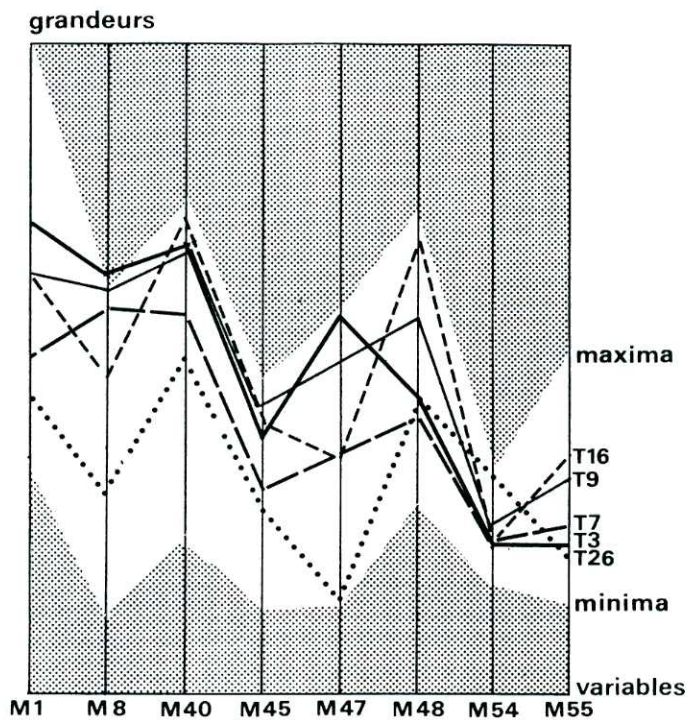


Fig. 1 Comparaison de mensurations de quelques sujets de Kadruka par rapport aux marges de variation de la population Kerma Ancien (Kerma, Soudan). Dessin S. Aeschlimann.

Références

- | | | |
|-------------------------------|------|--|
| ACSADI, G. & NEMESKERI, J. | 1970 | <u>History of human life span and mortality.</u> Budapest, Academie Kiado. |
| BROTHWELL, D.R. | 1981 | <u>Digging up bones.</u> London, British Museum. |
| GAILLARD, J. | 1960 | Détermination sexuelle d'un os coxal fragmentaire. <u>Bull. et Mém. de la Soc. d'Anthrop. de Paris</u> , 1, 11, 255-267. |
| KERN, W.T. Mc & STEWART, T.D. | 1957 | <u>Skeletal Age changes in Young American Males, Natick (Mass.).</u> (Headquarters quartermaster research and development command, Technical report ET 45). |
| MASSET, C. | 1982 | <u>Estimation de l'âge au décès par les sutures crâniennes.</u> Thèse, Paris. |
| MOESCHLER, P. | 1966 | <u>Structures morphologiques et dimorphisme sexuel : essai de différenciation métrique. Application à l'os coxal.</u> Thèse, Genève et Arch. suisse d'anthrop. gén., 30, 1-56. |
| SIMON, Ch. | 1984 | Etude anthropologique préliminaire sur le matériel du Kerma Ancien (Kerma, Soudan). <u>Genava</u> , n.s., 32, 27-30. |



Fig. 2 Exemple de cheveux à Kadruka (squelette 3). Photo J.-G. Elia.



Fig. 3 Exemple de cheveux à Kadruka (squelette 26). Photo J.-G. Elia.

Tableau de quelques mensurations (numérotation selon R. Martin).

| | Femmes | | | | Hommes | | |
|-----------|--------|-------|-------|------|--------|-------|-------|
| | 9 | 19 | 24 | 26 | 7 | 16 | 3 |
| M1 | 183 | 177 | 166 | 174 | 177 | 181 | 186 |
| M8 | 142 | 137 | 125 | 128 | 141 | 136 | 142 |
| M40 | 104 | 101 | - | 102 | 100 | 105 | 105 |
| M45 | 128 | 120 | 123 | 122 | 122 | 128 | 127 |
| M17 | 137 | (128) | - | 119 | 131 | 131 | 141 |
| M48 | 70 | 60 | 62 | 65 | 64 | 75 | 67 |
| M54 | 27 | 24 | 29 | 29 | 25 | 25 | 25 |
| M55 | 49 | 45 | 42 | 44 | 46 | 51 | 45 |
| Ind. cr. | 77.6 | 77.4 | 75.3 | 73.6 | 79.7 | 75.1 | 76.3 |
| Ind. Fac. | 54.7 | 50.0 | 50.4 | 53.3 | 52.5 | 58.6 | 52.8 |
| Ind. nas. | 55.1 | 53.3 | 69.1 | 65.9 | 54.4 | 49.0 | 55.6 |
| Taille : | | | | | | | |
| Pearson | 168.0 | - | 154.5 | - | 164.6 | 162.0 | 170.1 |
| Manouvr. | 169.5 | - | 154.5 | - | 163.9 | 161.6 | 169.2 |
| Dup./Had. | | | | | | | |
| Noir | 176.9 | - | 160.8 | - | 169.9 | 165.9 | 176.4 |
| Blanc | 176.9 | - | 160.5 | - | 173.1 | 169.6 | 177.4 |

